

### Eingabe: Farbmimetrisches Offset-Reflektiv-System ORS18

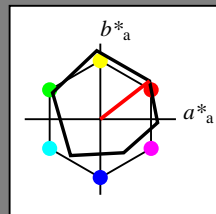
für Buntton  $h^* = lab^*h = 38/360 = 0.105$

$lab^*tch$  und  $lab^*nch$

D65: Buntton O

LCH\*Ma: 48 82 38

olv\*Ma: 1.0 0.0 0.0



#### ORS18; adaptierte CIELAB-Daten

	$L^*=L^*_a$	$a^*_a$	$b^*_a$	$C^*_{ab,a}$	$h^*_{ab,a}$
O <sub>m</sub>	47.94	65.05	50.54	82.38	38
Y <sub>m</sub>	91.0	-4.72	90.58	90.7	93
L <sub>m</sub>	50.9	-63.18	34.98	72.22	151
C <sub>m</sub>	56.99	-39.34	-48.1	62.16	231
V <sub>m</sub>	25.72	30.89	-44.4	54.09	305
M <sub>m</sub>	49.99	75.76	-4.64	75.9	356
N <sub>m</sub>	18.09	0.0	0.0	0.0	0
W <sub>m</sub>	95.46	0.0	0.0	0.0	0
R <sub>CIE</sub>	41.88	61.66	30.69	68.88	26
J <sub>CIE</sub>	81.97	2.02	67.79	67.82	88
G <sub>CIE</sub>	51.62	-41.32	9.74	42.46	167
B <sub>CIE</sub>	29.2	-5.79	-49.61	49.96	263

Dreiecks-Helligkeit  $t^*$

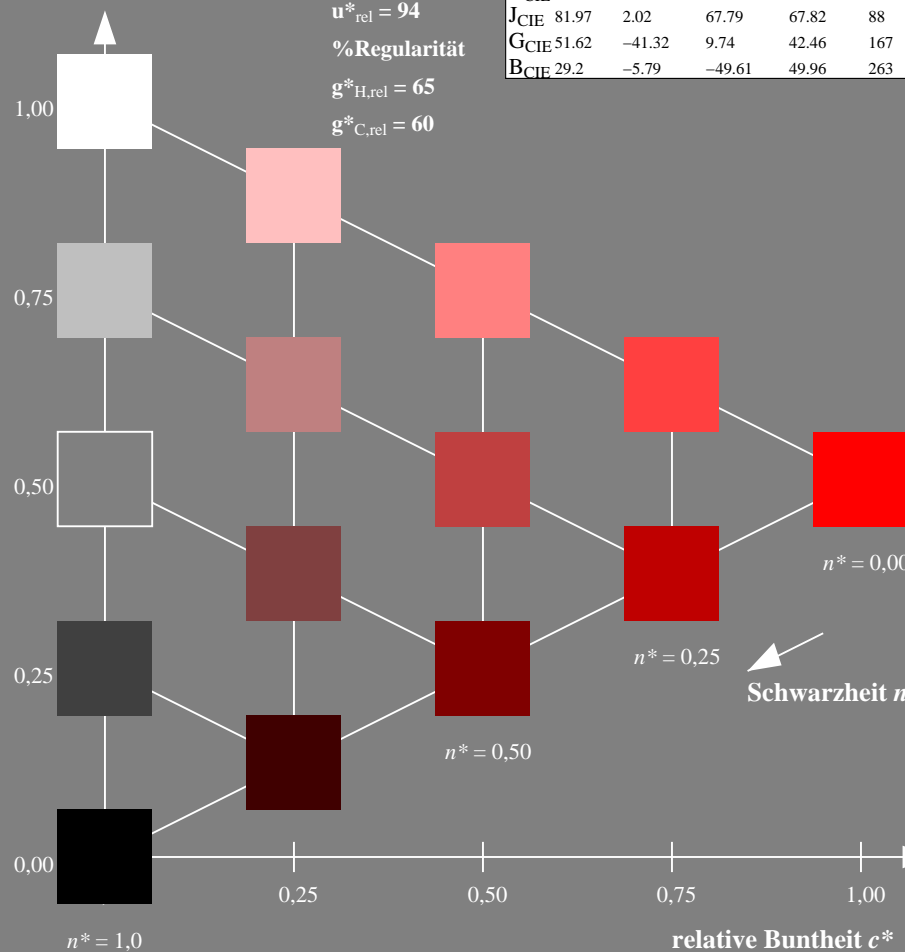
%Umfang

$u^*_{rel} = 94$

%Regularität

$g^*_{H,rel} = 65$

$g^*_{C,rel} = 60$



PG200-7, 5 stufige Reihen für konstanten CIELAB Buntton 38/360 = 0.105 (links)

### Ausgabe: Farbmimetrisches Fernseh-Licht-System TLS00

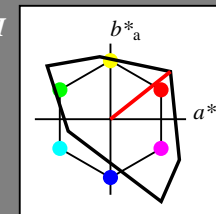
für Buntton  $h^* = lab^*h = 38/360 = 0.107$

$LAB^*LCH$ ,  $LAB^*NCH$

D65: Buntton O

LCH\*Ma: 54 101 38

olv\*Ma: 1.0 0.0 0.0



#### TLS00; adaptierte CIELAB-Daten

	$L^*=L^*_a$	$a^*_a$	$b^*_a$	$C^*_{ab,a}$	$h^*_{ab,a}$
O <sub>m</sub>	54.19	79.36	63.0	101.33	38
Y <sub>m</sub>	93.44	-14.18	82.59	83.8	100
L <sub>m</sub>	82.82	-83.73	70.41	109.41	140
C <sub>m</sub>	85.22	-55.9	-15.78	58.1	196
V <sub>m</sub>	25.61	67.05	-108.87	127.87	302
M <sub>m</sub>	58.76	91.18	-53.69	105.82	330
N <sub>m</sub>	0.01	0.0	0.0	0.0	0
W <sub>m</sub>	95.41	0.0	0.0	0.0	0
R <sub>CIE</sub>	41.88	62.0	31.82	69.69	27
J <sub>CIE</sub>	81.97	1.81	71.59	71.61	89
G <sub>CIE</sub>	51.62	-41.11	11.52	42.7	164
B <sub>CIE</sub>	29.2	-5.27	-49.33	49.62	264

CIELAB-Helligkeit  $L^*$

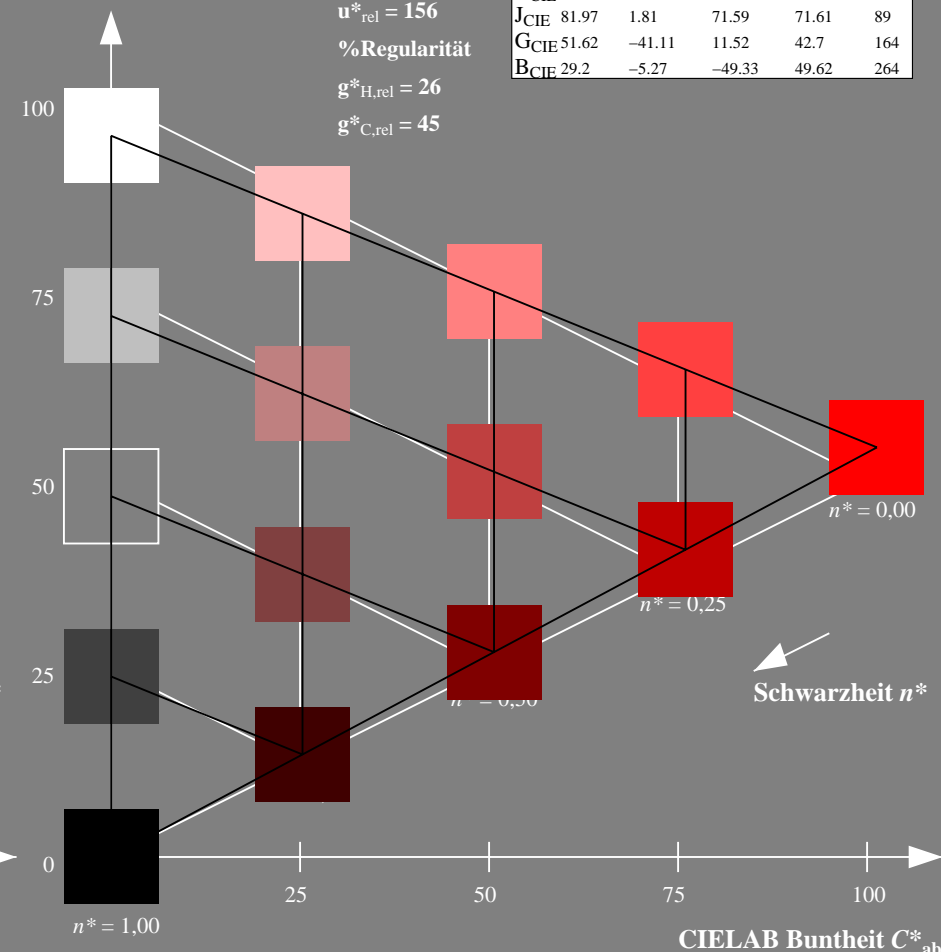
%Umfang

$u^*_{rel} = 156$

%Regularität

$g^*_{H,rel} = 26$

$g^*_{C,rel} = 45$



5 stufige Reihen für konstanten CIELAB Buntton 38/360 = 0.107 (rechts)

BAM-Prüfvorlage PG20; Farbmimetrik-Systeme ORS18 & TLS00 input: olv\* setrgbcolor

D50: Koordinatensysteme; 5stufige Farbreihen für 10 Bunttöne output: no change compared to input

Eingabe: Farbmimetrisches Offset-Reflektiv-System ORS18

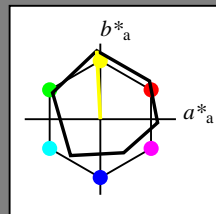
für Buntton  $h^* = lab \cdot h = 93/360 = 0.258$

$lab \cdot tch$  und  $lab \cdot nch$

D65: Buntton Y

LCH\*Ma: 91 91 93

olv\*Ma: 1.0 1.0 0.0



ORS18; adaptierte CIELAB-Daten

	$L^*=L^*_a$	$a^*_a$	$b^*_a$	$C^*_{ab,a}$	$h^*_{ab,a}$
O <sub>m</sub>	47.94	65.05	50.54	82.38	38
Y <sub>m</sub>	91.0	-4.72	90.58	90.7	93
L <sub>m</sub>	50.9	-63.18	34.98	72.22	151
C <sub>m</sub>	56.99	-39.34	-48.1	62.16	231
V <sub>m</sub>	25.72	30.89	-44.4	54.09	305
M <sub>m</sub>	49.99	75.76	-4.64	75.9	356
N <sub>m</sub>	18.09	0.0	0.0	0.0	0
W <sub>m</sub>	95.46	0.0	0.0	0.0	0
R <sub>CIE</sub>	41.88	61.66	30.69	68.88	26
J <sub>CIE</sub>	81.97	2.02	67.79	67.82	88
G <sub>CIE</sub>	51.62	-41.32	9.74	42.46	167
B <sub>CIE</sub>	29.2	-5.79	-49.61	49.96	263

Dreiecks-Helligkeit  $t^*$

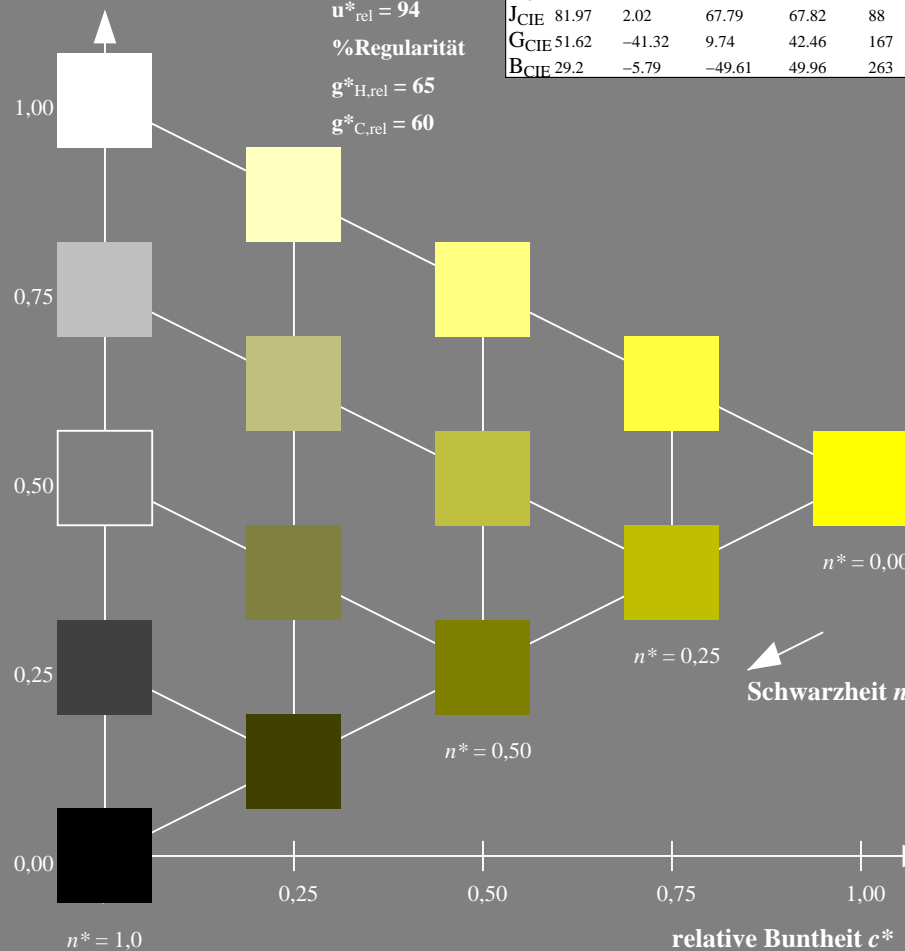
%Umfang

$u^*_{rel} = 94$

%Regularität

$g^*_{H,rel} = 65$

$g^*_{C,rel} = 60$



PG200-7, 5 stufige Reihen für konstanten CIELAB Buntton 93/360 = 0.258 (links)

Ausgabe: Farbmimetrisches Fernseh-Licht-System TLS00

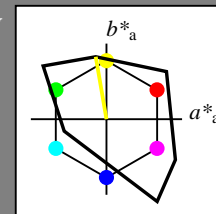
für Buntton  $h^* = lab \cdot h = 100/360 = 0.277$

$LAB \cdot LCH$ ,  $LAB \cdot NCH$

D65: Buntton Y

LCH\*Ma: 93 84 100

olv\*Ma: 1.0 1.0 0.0



TLS00; adaptierte CIELAB-Daten

	$L^*=L^*_a$	$a^*_a$	$b^*_a$	$C^*_{ab,a}$	$h^*_{ab,a}$
O <sub>m</sub>	54.19	79.36	63.0	101.33	38
Y <sub>m</sub>	93.44	-14.18	82.59	83.8	100
L <sub>m</sub>	82.82	-83.73	70.41	109.41	140
C <sub>m</sub>	85.22	-55.9	-15.78	58.1	196
V <sub>m</sub>	25.61	67.05	-108.87	127.87	302
M <sub>m</sub>	58.76	91.18	-53.69	105.82	330
N <sub>m</sub>	0.01	0.0	0.0	0.0	0
W <sub>m</sub>	95.41	0.0	0.0	0.0	0
R <sub>CIE</sub>	41.88	62.0	31.82	69.69	27
J <sub>CIE</sub>	81.97	1.81	71.59	71.61	89
G <sub>CIE</sub>	51.62	-41.11	11.52	42.7	164
B <sub>CIE</sub>	29.2	-5.27	-49.33	49.62	264

CIELAB-Helligkeit  $L^*$

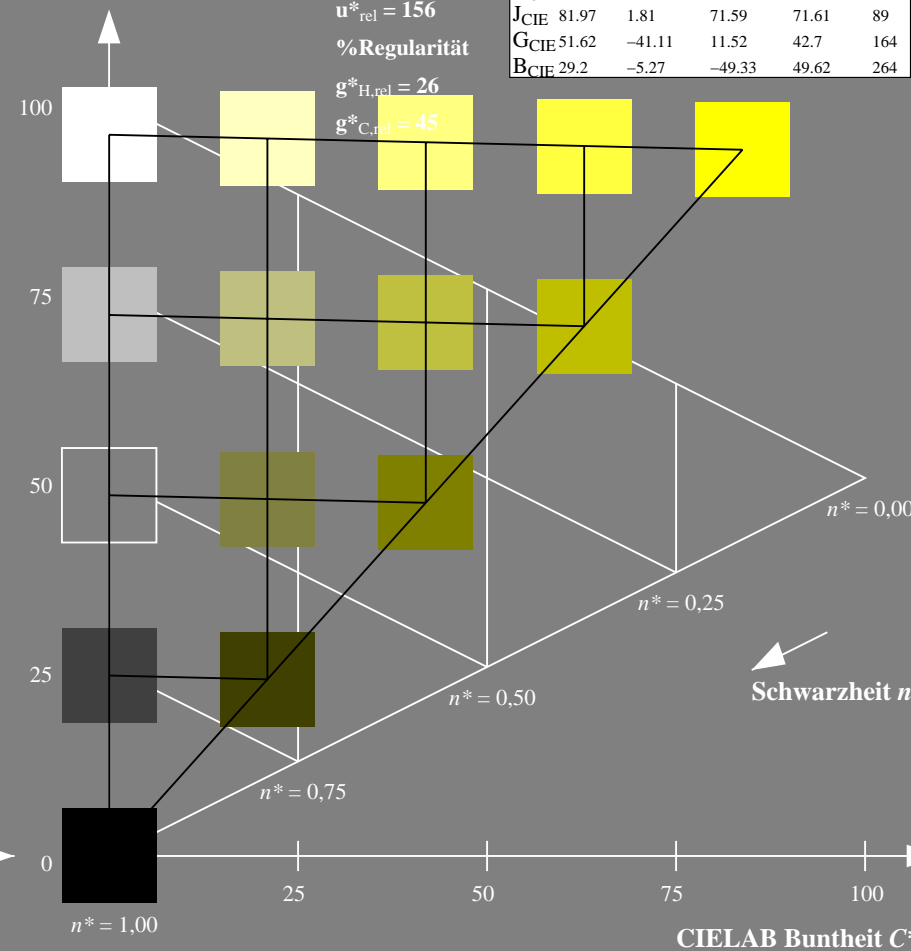
%Umfang

$u^*_{rel} = 156$

%Regularität

$g^*_{H,rel} = 26$

$g^*_{C,rel} = 45$



5 stufige Reihen für konstanten CIELAB Buntton 100/360 = 0.277 (rechts)

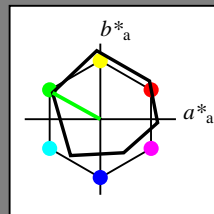
BAM-Prüfvorlage PG20; Farbmimetrik-Systeme ORS18 & TLS00 input: olv\* setrgbcolor

D50: Koordinatensysteme; 5stufige Farbreihen für 10 Bunttöne output: no change compared to input

### Eingabe: Farbmimetrisches Offset-Reflektiv-System ORS18

für Buntton  $h^* = lab^*h = 151/360 = 0.42$   
 $lab^*tch$  und  $lab^*nch$

D65: Buntton L  
LCH\*Ma: 51 72 151  
olv\*Ma: 0.0 1.0 0.0



#### ORS18; adaptierte CIELAB-Daten

	$L^*=L^*_a$	$a^*_a$	$b^*_a$	$C^*_{ab,a}$	$h^*_{ab,a}$
O <sub>m</sub>	47.94	65.05	50.54	82.38	38
Y <sub>m</sub>	91.0	-4.72	90.58	90.7	93
L <sub>m</sub>	50.9	-63.18	34.98	72.22	151
C <sub>m</sub>	56.99	-39.34	-48.1	62.16	231
V <sub>m</sub>	25.72	30.89	-44.4	54.09	305
M <sub>m</sub>	49.99	75.76	-4.64	75.9	356
N <sub>m</sub>	18.09	0.0	0.0	0.0	0
W <sub>m</sub>	95.46	0.0	0.0	0.0	0
R <sub>CIE</sub>	41.88	61.66	30.69	68.88	26
J <sub>CIE</sub>	81.97	2.02	67.79	67.82	88
G <sub>CIE</sub>	51.62	-41.32	9.74	42.46	167
B <sub>CIE</sub>	29.2	-5.79	-49.61	49.96	263

Dreiecks-Helligkeit  $t^*$

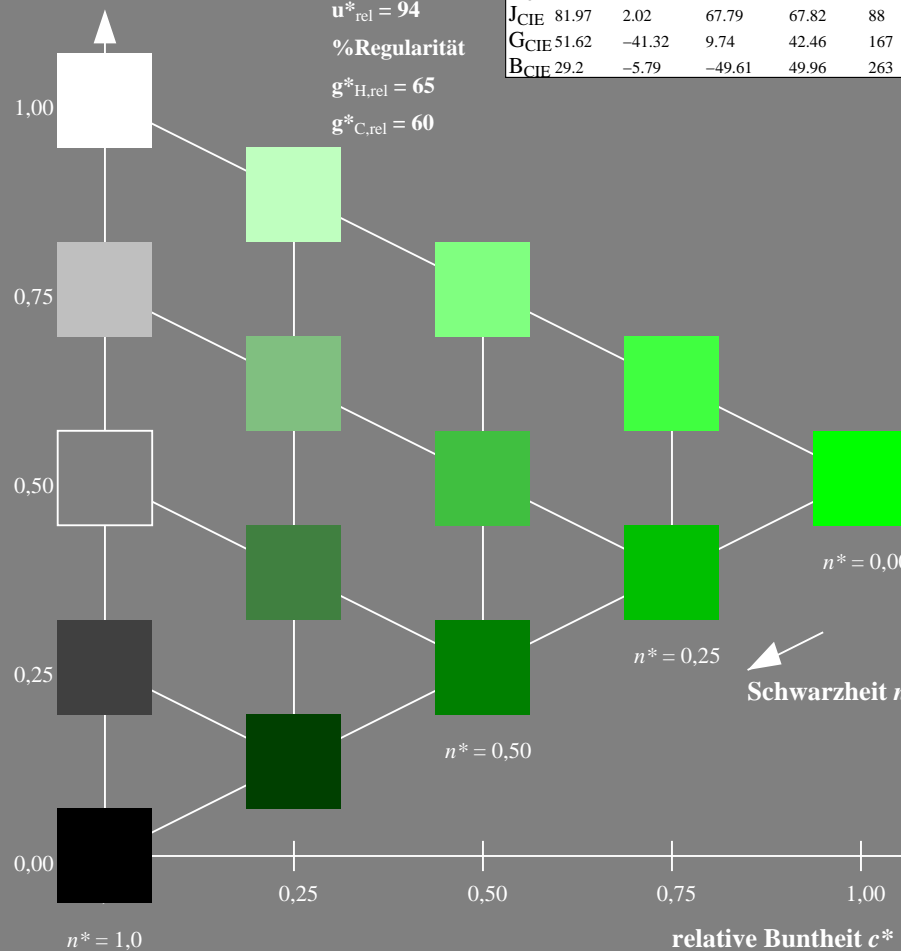
%Umfang

$u^*_{rel} = 94$

%Regularität

$g^*_{H,rel} = 65$

$g^*_{C,rel} = 60$

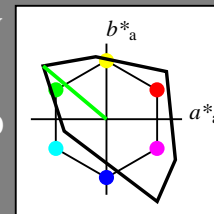


PG200-7, 5 stufige Reihen für konstanten CIELAB Buntton 151/360 = 0.42 (links)

### Ausgabe: Farbmimetrisches Fernseh-Licht-System TLS00

für Buntton  $h^* = lab^*h = 140/360 = 0.389$   
 $LAB^*LCH$ ,  $LAB^*NCH$

D65: Buntton L  
LCH\*Ma: 83 109 140  
olv\*Ma: 0.0 1.0 0.0



#### TLS00; adaptierte CIELAB-Daten

	$L^*=L^*_a$	$a^*_a$	$b^*_a$	$C^*_{ab,a}$	$h^*_{ab,a}$
O <sub>m</sub>	54.19	79.36	63.0	101.33	38
Y <sub>m</sub>	93.44	-14.18	82.59	83.8	100
L <sub>m</sub>	82.82	-83.73	70.41	109.41	140
C <sub>m</sub>	85.22	-55.9	-15.78	58.1	196
V <sub>m</sub>	25.61	67.05	-108.87	127.87	302
M <sub>m</sub>	58.76	91.18	-53.69	105.82	330
N <sub>m</sub>	0.01	0.0	0.0	0.0	0
W <sub>m</sub>	95.41	0.0	0.0	0.0	0
R <sub>CIE</sub>	41.88	62.0	31.82	69.69	27
J <sub>CIE</sub>	81.97	1.81	71.59	71.61	89
G <sub>CIE</sub>	51.62	-41.11	11.52	42.7	164
B <sub>CIE</sub>	29.2	-5.27	-49.33	49.62	264

CIELAB-Helligkeit  $L^*$

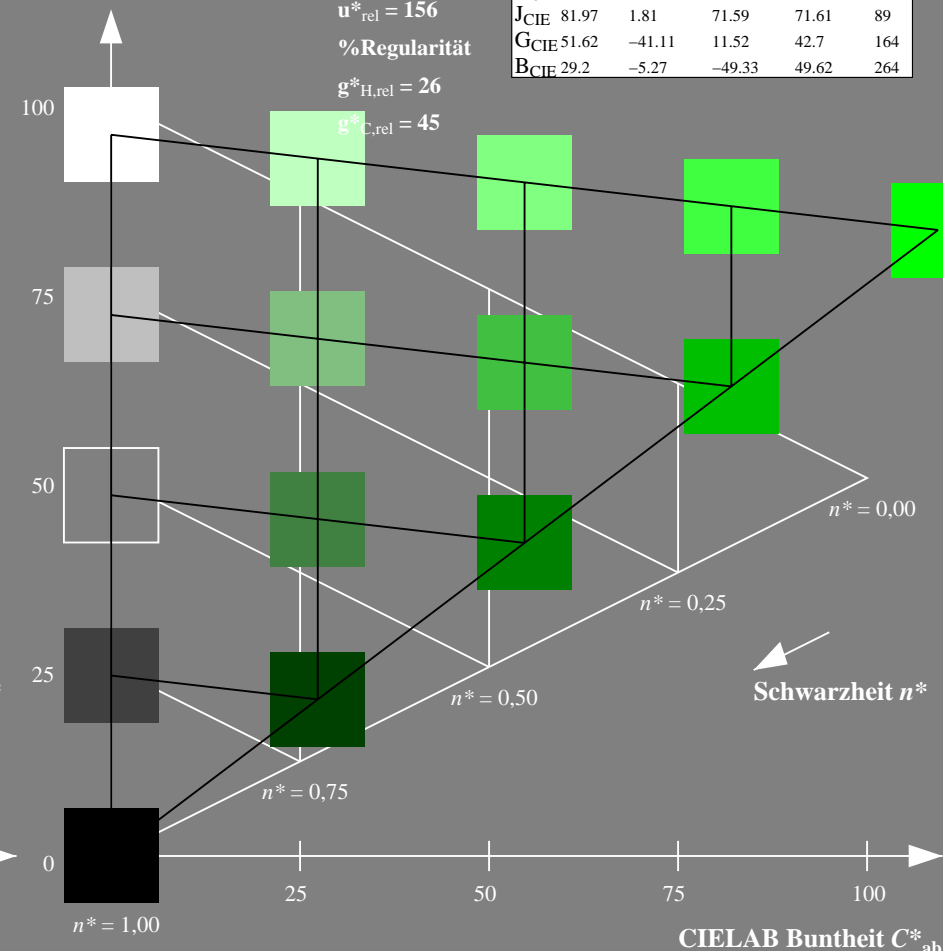
%Umfang

$u^*_{rel} = 156$

%Regularität

$g^*_{H,rel} = 26$

$g^*_{C,rel} = 45$



5 stufige Reihen für konstanten CIELAB Buntton 140/360 = 0.389 (rechts)

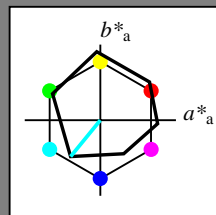
BAM-Prüfvorlage PG20; Farbmimetrik-Systeme ORS18 & TLS00 input: olv\* setrgbcolor

D50: Koordinatensysteme; 5stufige Farbreihen für 10 Bunttöne output: no change compared to input

### Eingabe: Farbmimetrisches Offset-Reflektiv-System ORS18

für Buntton  $h^* = lab \cdot h = 231/360 = 0.641$   
 $lab \cdot tch$  und  $lab \cdot nch$

D65: Buntton C  
LCH\*Ma: 57 62 231  
olv\*Ma: 0.0 1.0 1.0



#### ORS18; adaptierte CIELAB-Daten

	$L^*=L^*_a$	$a^*_a$	$b^*_a$	$C^*_{ab,a}$	$h^*_{ab,a}$
O <sub>m</sub>	47.94	65.05	50.54	82.38	38
Y <sub>m</sub>	91.0	-4.72	90.58	90.7	93
L <sub>m</sub>	50.9	-63.18	34.98	72.22	151
C <sub>m</sub>	56.99	-39.34	-48.1	62.16	231
V <sub>m</sub>	25.72	30.89	-44.4	54.09	305
M <sub>m</sub>	49.99	75.76	-4.64	75.9	356
N <sub>m</sub>	18.09	0.0	0.0	0.0	0
W <sub>m</sub>	95.46	0.0	0.0	0.0	0
R <sub>CIE</sub>	41.88	61.66	30.69	68.88	26
J <sub>CIE</sub>	81.97	2.02	67.79	67.82	88
G <sub>CIE</sub>	51.62	-41.32	9.74	42.46	167
B <sub>CIE</sub>	29.2	-5.79	-49.61	49.96	263

Dreiecks-Helligkeit  $t^*$

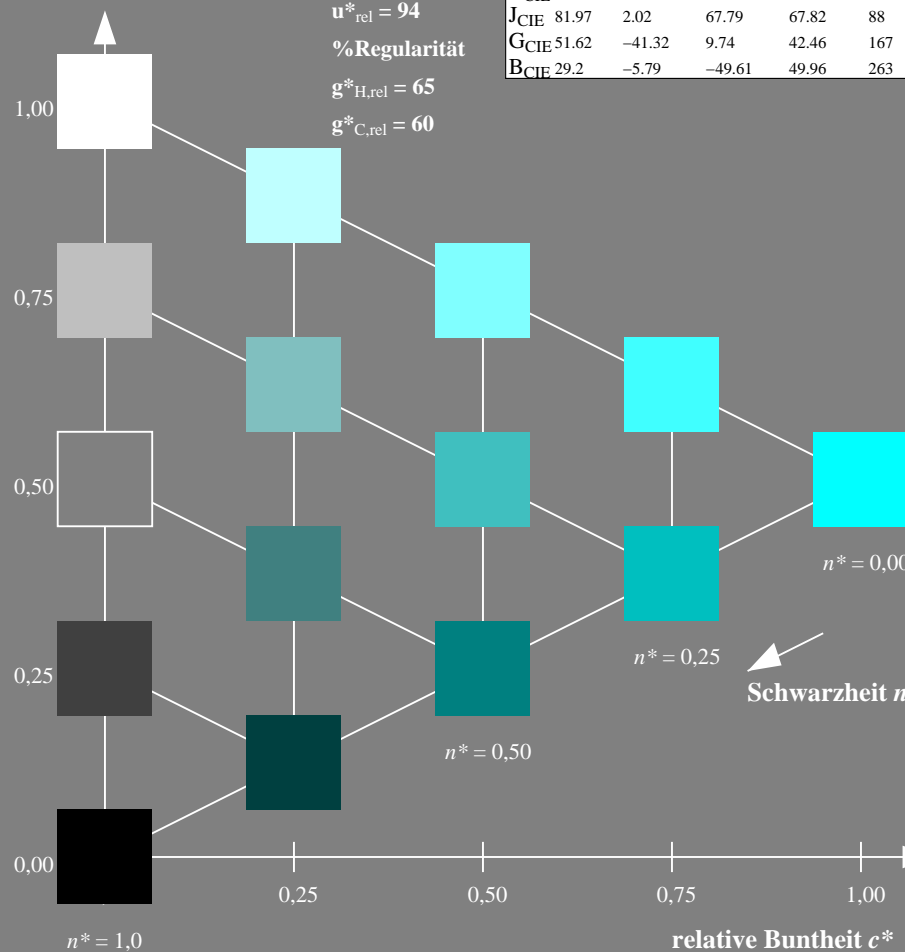
%Umfang

$u^*_{rel} = 94$

%Regularität

$g^*_{H,rel} = 65$

$g^*_{C,rel} = 60$

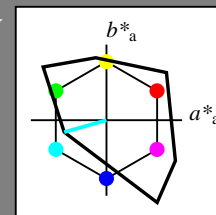


PG200-7, 5 stufige Reihen für konstanten CIELAB Buntton 231/360 = 0.641 (links)

### Ausgabe: Farbmimetrisches Fernseh-Licht-System TLS00

für Buntton  $h^* = lab \cdot h = 196/360 = 0.544$   
 $LAB \cdot LCH$ ,  $LAB \cdot NCH$

D65: Buntton C  
LCH\*Ma: 85 58 196  
olv\*Ma: 0.0 1.0 1.0



#### TLS00; adaptierte CIELAB-Daten

	$L^*=L^*_a$	$a^*_a$	$b^*_a$	$C^*_{ab,a}$	$h^*_{ab,a}$
O <sub>m</sub>	54.19	79.36	63.0	101.33	38
Y <sub>m</sub>	93.44	-14.18	82.59	83.8	100
L <sub>m</sub>	82.82	-83.73	70.41	109.41	140
C <sub>m</sub>	85.22	-55.9	-15.78	58.1	196
V <sub>m</sub>	25.61	67.05	-108.87	127.87	302
M <sub>m</sub>	58.76	91.18	-53.69	105.82	330
N <sub>m</sub>	0.01	0.0	0.0	0.0	0
W <sub>m</sub>	95.41	0.0	0.0	0.0	0
R <sub>CIE</sub>	41.88	62.0	31.82	69.69	27
J <sub>CIE</sub>	81.97	1.81	71.59	71.61	89
G <sub>CIE</sub>	51.62	-41.11	11.52	42.7	164
B <sub>CIE</sub>	29.2	-5.27	-49.33	49.62	264

CIELAB-Helligkeit  $L^*$

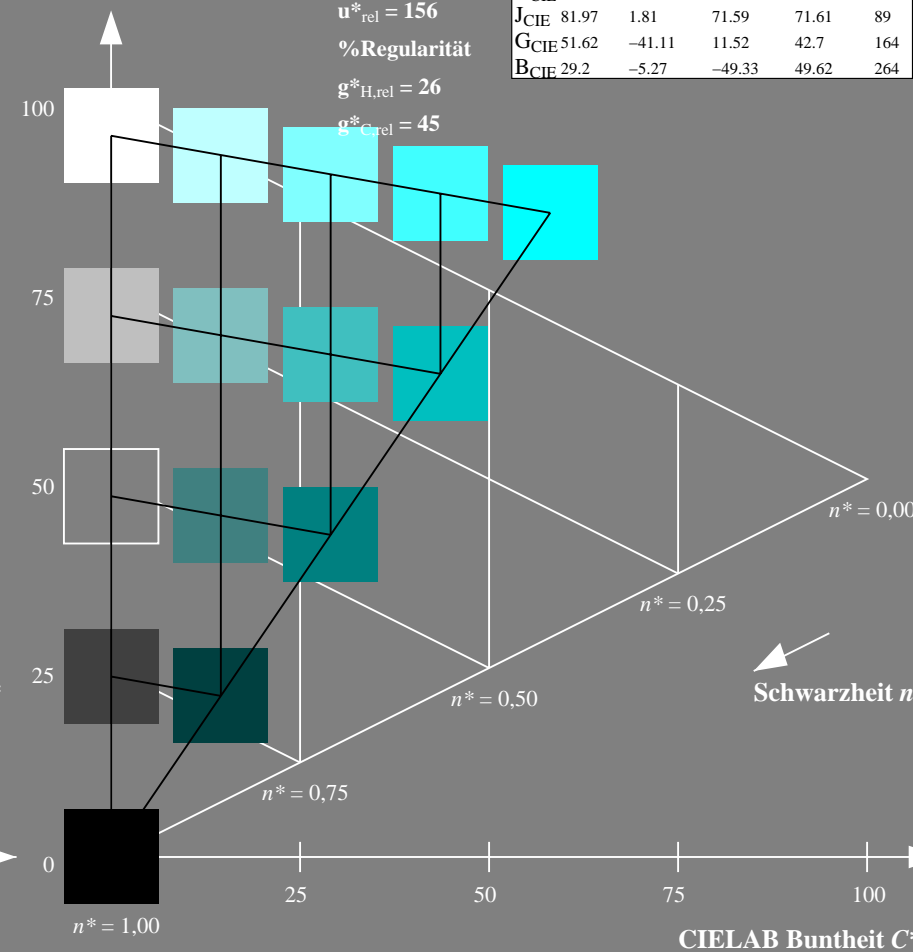
%Umfang

$u^*_{rel} = 156$

%Regularität

$g^*_{H,rel} = 26$

$g^*_{C,rel} = 45$



5 stufige Reihen für konstanten CIELAB Buntton 196/360 = 0.544 (rechts)

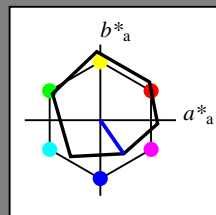
BAM-Prüfvorlage PG20; Farbmimetrik-Systeme ORS18 & TLS00 input: olv\* setrgbcolor

D50: Koordinatensysteme; 5stufige Farbreihen für 10 Bunttöne output: no change compared to input

Eingabe: Farbmimetrisches Offset-Reflektiv-System ORS18

für Buntton  $h^* = lab^*h = 305/360 = 0.847$   
 $lab^*tch$  und  $lab^*nch$

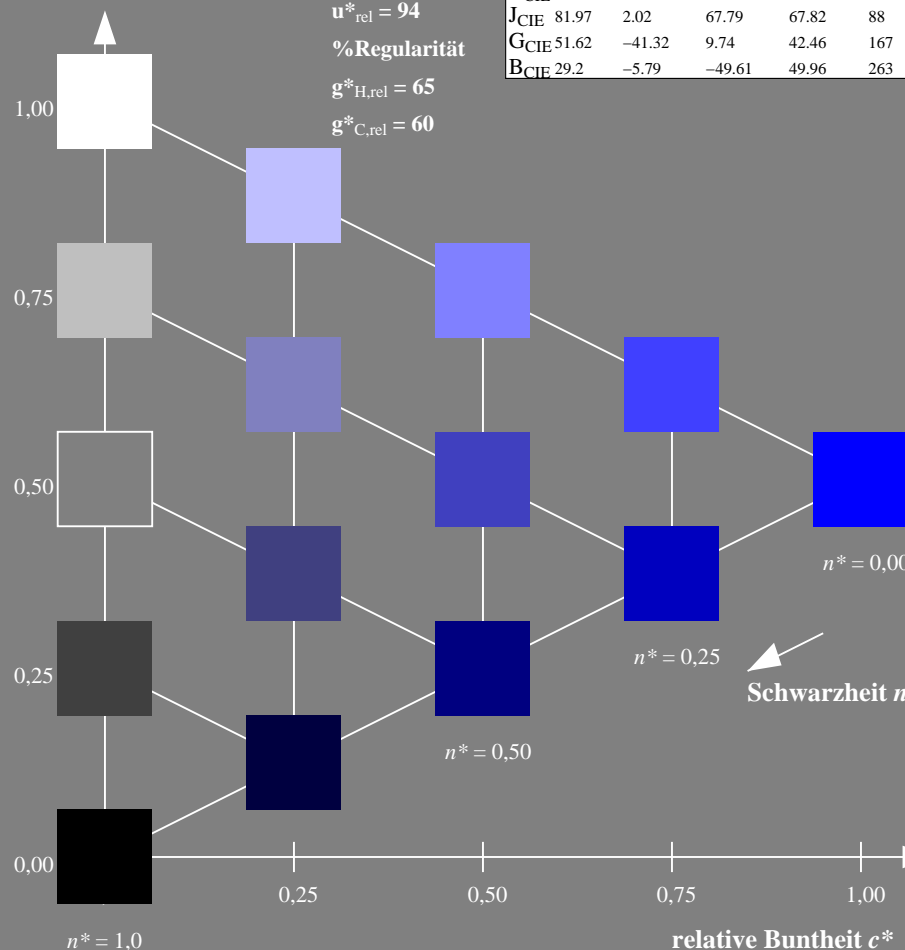
D65: Buntton V  
LCH\*Ma: 26 54 305  
olv\*Ma: 0.0 0.0 1.0



ORS18; adaptierte CIELAB-Daten					
	$L^*=L^*_a$	$a^*_a$	$b^*_a$	$C^*_{ab,a}$	$h^*_{ab,a}$
O <sub>m</sub>	47.94	65.05	50.54	82.38	38
Y <sub>m</sub>	91.0	-4.72	90.58	90.7	93
L <sub>m</sub>	50.9	-63.18	34.98	72.22	151
C <sub>m</sub>	56.99	-39.34	-48.1	62.16	231
V <sub>m</sub>	25.72	30.89	-44.4	54.09	305
M <sub>m</sub>	49.99	75.76	-4.64	75.9	356
N <sub>m</sub>	18.09	0.0	0.0	0.0	0
W <sub>m</sub>	95.46	0.0	0.0	0.0	0
R <sub>CIE</sub>	41.88	61.66	30.69	68.88	26
J <sub>CIE</sub>	81.97	2.02	67.79	67.82	88
G <sub>CIE</sub>	51.62	-41.32	9.74	42.46	167
B <sub>CIE</sub>	29.2	-5.79	-49.61	49.96	263

Dreiecks-Helligkeit  $t^*$

%Umfang  
 $u^*_{rel} = 94$   
%Regularität  
 $g^*_{H,rel} = 65$   
 $g^*_{C,rel} = 60$

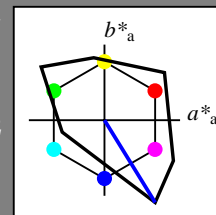


PG200-7, 5 stufige Reihen für konstanten CIELAB Buntton 305/360 = 0.847 (links)

Ausgabe: Farbmimetrisches Fernseh-Licht-System TLS00

für Buntton  $h^* = lab^*h = 302/360 = 0.838$   
 $LAB^*LCH$ ,  $LAB^*NCH$

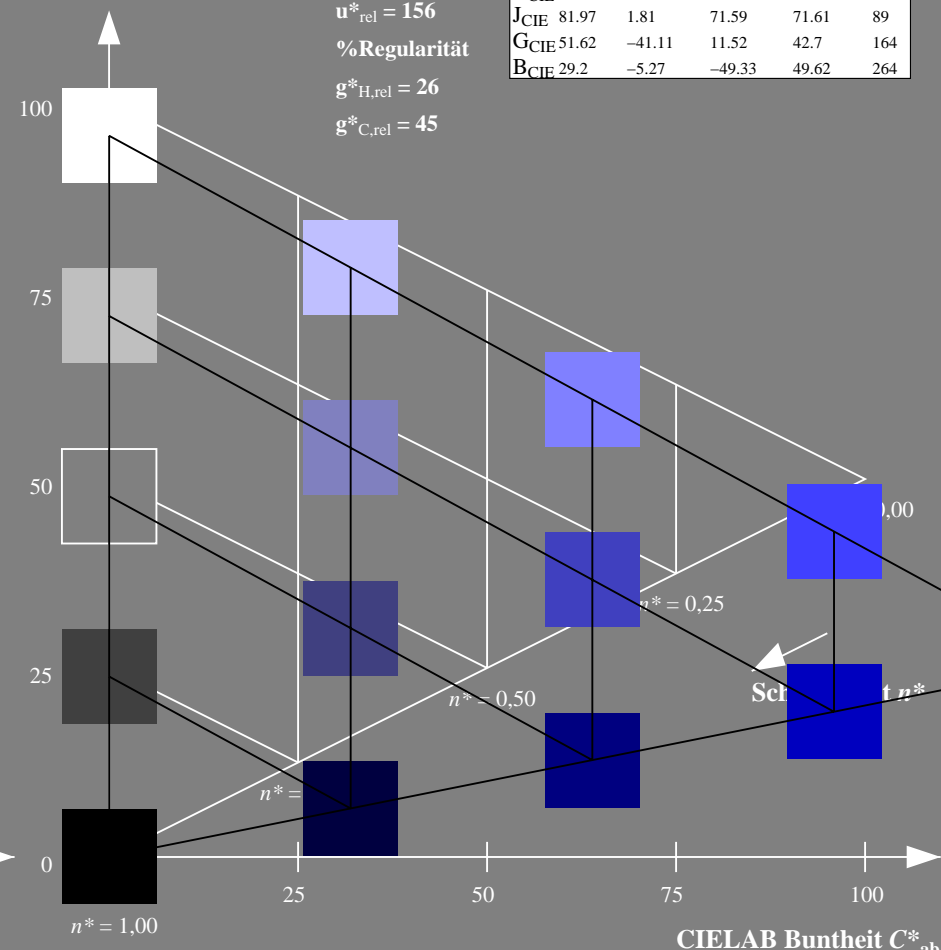
D65: Buntton V  
LCH\*Ma: 26 128 302  
olv\*Ma: 0.0 0.0 1.0



TLS00; adaptierte CIELAB-Daten					
	$L^*=L^*_a$	$a^*_a$	$b^*_a$	$C^*_{ab,a}$	$h^*_{ab,a}$
O <sub>m</sub>	54.19	79.36	63.0	101.33	38
Y <sub>m</sub>	93.44	-14.18	82.59	83.8	100
L <sub>m</sub>	82.82	-83.73	70.41	109.41	140
C <sub>m</sub>	85.22	-55.9	-15.78	58.1	196
V <sub>m</sub>	25.61	67.05	-108.87	127.87	302
M <sub>m</sub>	58.76	91.18	-53.69	105.82	330
N <sub>m</sub>	0.01	0.0	0.0	0.0	0
W <sub>m</sub>	95.41	0.0	0.0	0.0	0
R <sub>CIE</sub>	41.88	62.0	31.82	69.69	27
J <sub>CIE</sub>	81.97	1.81	71.59	71.61	89
G <sub>CIE</sub>	51.62	-41.11	11.52	42.7	164
B <sub>CIE</sub>	29.2	-5.27	-49.33	49.62	264

CIELAB-Helligkeit  $L^*$

%Umfang  
 $u^*_{rel} = 156$   
%Regularität  
 $g^*_{H,rel} = 26$   
 $g^*_{C,rel} = 45$



5 stufige Reihen für konstanten CIELAB Buntton 302/360 = 0.838 (rechts)

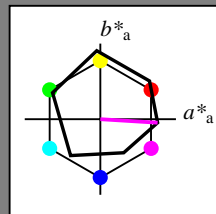
BAM-Prüfvorlage PG20; Farbmimetrische-Systeme ORS18 & TLS00 input: olv\* setrgbcolor

D50: Koordinatensysteme; 5stufige Farbreihen für 10 Bunttöne output: no change compared to input

### Eingabe: Farbmimetrisches Offset-Reflektiv-System ORS18

für Buntton  $h^* = lab^*h = 356/360 = 0.99$   
 $lab^*tch$  und  $lab^*nch$

D65: Buntton M  
LCH\*Ma: 50 76 356  
olv\*Ma: 1.0 0.0 1.0



#### ORS18; adaptierte CIELAB-Daten

	$L^*=L^*_a$	$a^*_a$	$b^*_a$	$C^*_{ab,a}$	$h^*_{ab,a}$
O <sub>m</sub>	47.94	65.05	50.54	82.38	38
Y <sub>m</sub>	91.0	-4.72	90.58	90.7	93
L <sub>m</sub>	50.9	-63.18	34.98	72.22	151
C <sub>m</sub>	56.99	-39.34	-48.1	62.16	231
V <sub>m</sub>	25.72	30.89	-44.4	54.09	305
M <sub>m</sub>	49.99	75.76	-4.64	75.9	356
N <sub>m</sub>	18.09	0.0	0.0	0.0	0
W <sub>m</sub>	95.46	0.0	0.0	0.0	0
R <sub>CIE</sub>	41.88	61.66	30.69	68.88	26
J <sub>CIE</sub>	81.97	2.02	67.79	67.82	88
G <sub>CIE</sub>	51.62	-41.32	9.74	42.46	167
B <sub>CIE</sub>	29.2	-5.79	-49.61	49.96	263

Dreiecks-Helligkeit  $t^*$

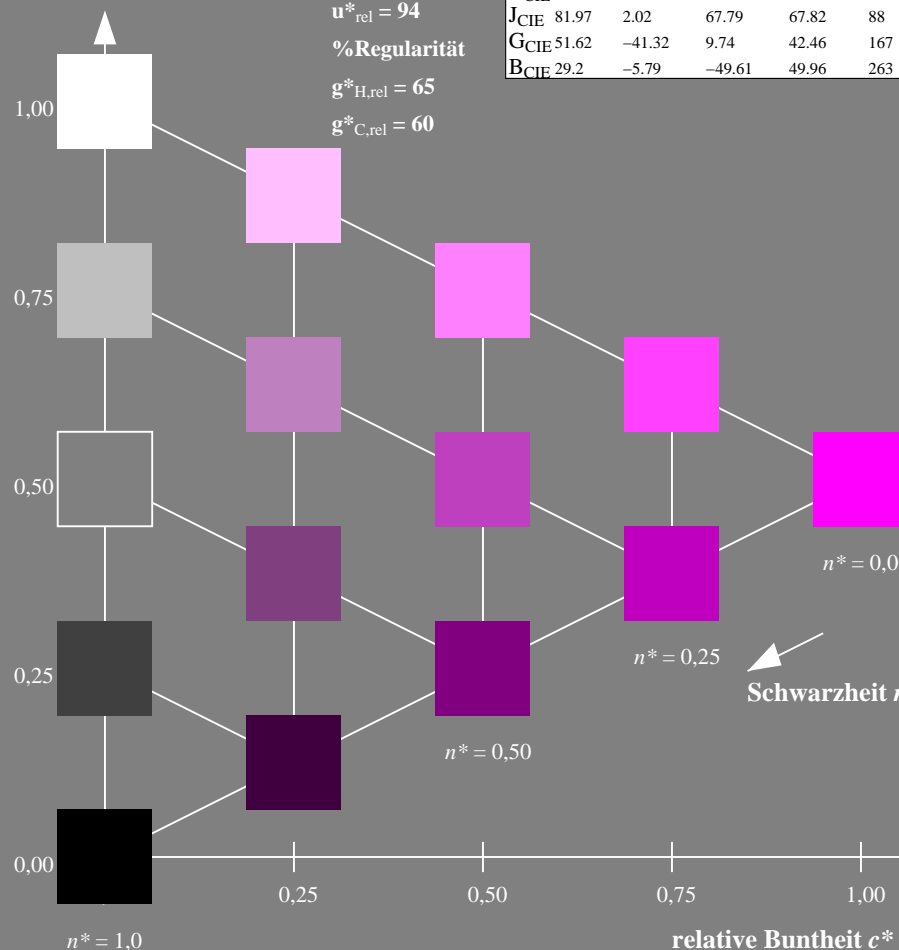
%Umfang

$u^*_{rel} = 94$

%Regularität

$g^*_{H,rel} = 65$

$g^*_{C,rel} = 60$

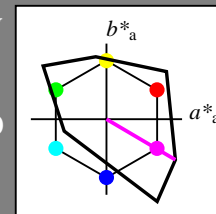


PG200-7, 5 stufige Reihen für konstanten CIELAB Buntton 356/360 = 0.99 (links)

### Ausgabe: Farbmimetrisches Fernseh-Licht-System TLS00

für Buntton  $h^* = lab^*h = 330/360 = 0.915$   
 $LAB^*LCH$ ,  $LAB^*NCH$

D65: Buntton M  
LCH\*Ma: 59 106 330  
olv\*Ma: 1.0 0.0 1.0



#### TLS00; adaptierte CIELAB-Daten

	$L^*=L^*_a$	$a^*_a$	$b^*_a$	$C^*_{ab,a}$	$h^*_{ab,a}$
O <sub>m</sub>	54.19	79.36	63.0	101.33	38
Y <sub>m</sub>	93.44	-14.18	82.59	83.8	100
L <sub>m</sub>	82.82	-83.73	70.41	109.41	140
C <sub>m</sub>	85.22	-55.9	-15.78	58.1	196
V <sub>m</sub>	25.61	67.05	-108.87	127.87	302
M <sub>m</sub>	58.76	91.18	-53.69	105.82	330
N <sub>m</sub>	0.01	0.0	0.0	0.0	0
W <sub>m</sub>	95.41	0.0	0.0	0.0	0
R <sub>CIE</sub>	41.88	62.0	31.82	69.69	27
J <sub>CIE</sub>	81.97	1.81	71.59	71.61	89
G <sub>CIE</sub>	51.62	-41.11	11.52	42.7	164
B <sub>CIE</sub>	29.2	-5.27	-49.33	49.62	264

CIELAB-Helligkeit  $L^*$

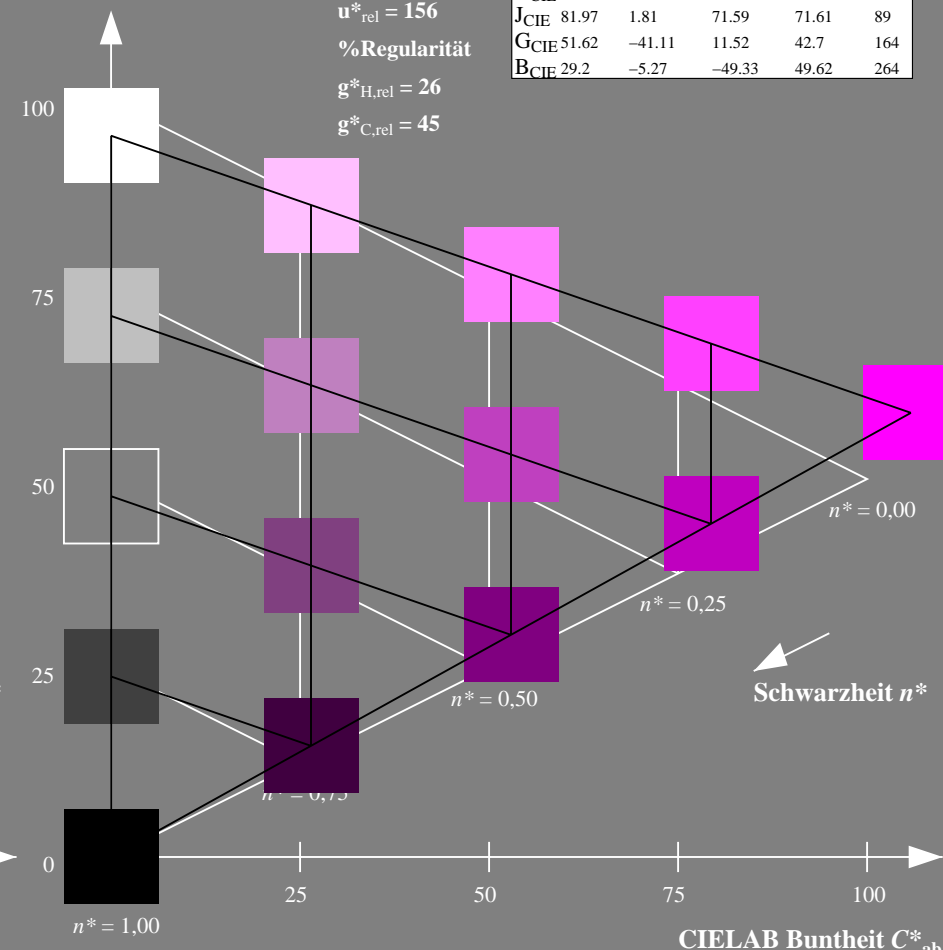
%Umfang

$u^*_{rel} = 156$

%Regularität

$g^*_{H,rel} = 26$

$g^*_{C,rel} = 45$



5 stufige Reihen für konstanten CIELAB Buntton 330/360 = 0.915 (rechts)

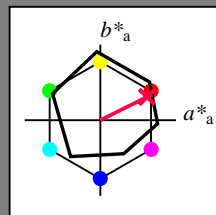
BAM-Prüfvorlage PG20; Farbmimetrik-Systeme ORS18 & TLS00 input: olv\* setrgbcolor

D50: Koordinatensysteme; 5stufige Farbreihen für 10 Bunttöne output: no change compared to input

### Eingabe: Farbmimetrisches Offset-Reflektiv-System ORS18

für Buntton  $h^* = lab \cdot h = 26/360 = 0.074$   
 $lab \cdot tch$  und  $lab \cdot nch$

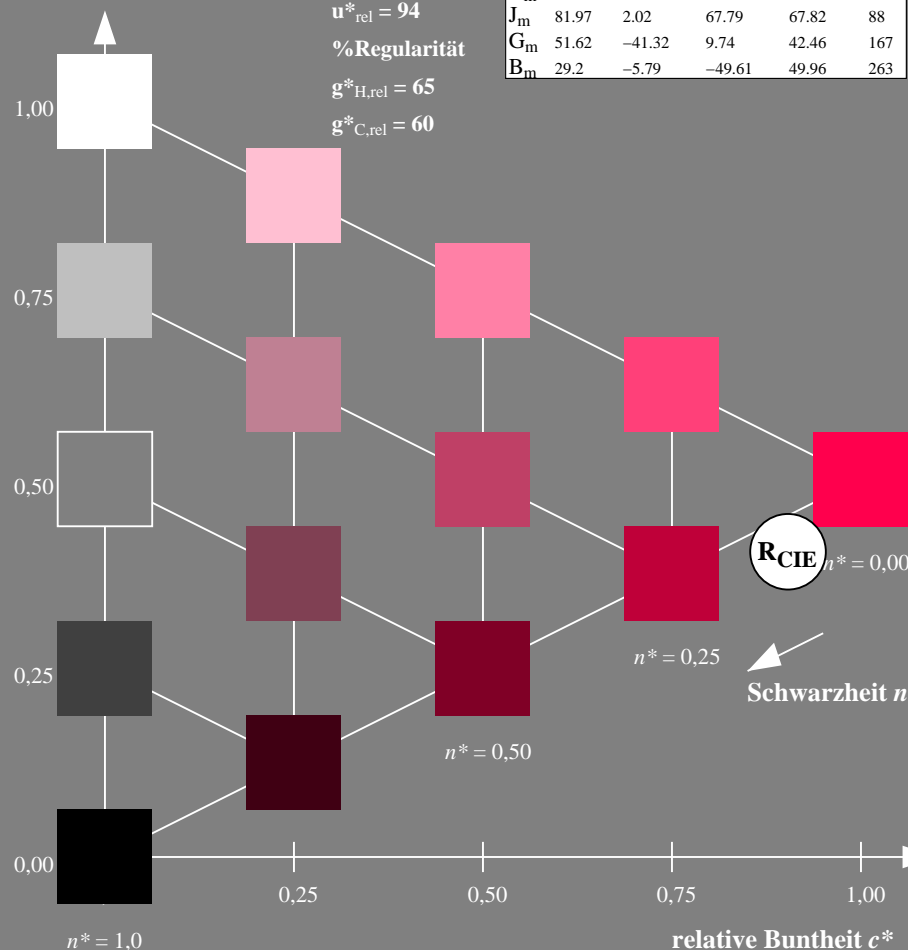
D65: Buntton R  
LCH\*Ma: 49 76 26  
olv\*Ma: 1.0 0.0 0.3



ORS18; adaptierte CIELAB-Daten					
	$L^*=L^*_a$	$a^*_a$	$b^*_a$	$C^*_{ab,a}$	$h^*_{ab,a}$
O <sub>m</sub>	47.94	65.05	50.54	82.38	38
Y <sub>m</sub>	91.0	-4.72	90.58	90.7	93
L <sub>m</sub>	50.9	-63.18	34.98	72.22	151
C <sub>m</sub>	56.99	-39.34	-48.1	62.16	231
V <sub>m</sub>	25.72	30.89	-44.4	54.09	305
M <sub>m</sub>	49.99	75.76	-4.64	75.9	356
N <sub>m</sub>	18.09	0.0	0.0	0.0	0
W <sub>m</sub>	95.46	0.0	0.0	0.0	0
R <sub>m</sub>	41.88	61.66	30.69	68.88	26
J <sub>m</sub>	81.97	2.02	67.79	67.82	88
G <sub>m</sub>	51.62	-41.32	9.74	42.46	167
B <sub>m</sub>	29.2	-5.79	-49.61	49.96	263

Dreiecks-Helligkeit  $t^*$

%Umfang  
 $u^*_{rel} = 94$   
%Regularität  
 $g^*_{H,rel} = 65$   
 $g^*_{C,rel} = 60$

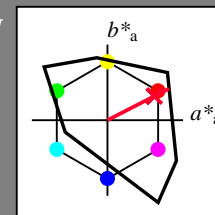


PG200-7, 5 stufige Reihen für konstanten CIELAB Buntton  $26/360 = 0.074$  (links)

### Ausgabe: Farbmimetrisches Fernseh-Licht-System TLS00

für Buntton  $h^* = lab \cdot h = 27/360 = 0.075$   
 $LAB \cdot LCH$ ,  $LAB \cdot NCH$

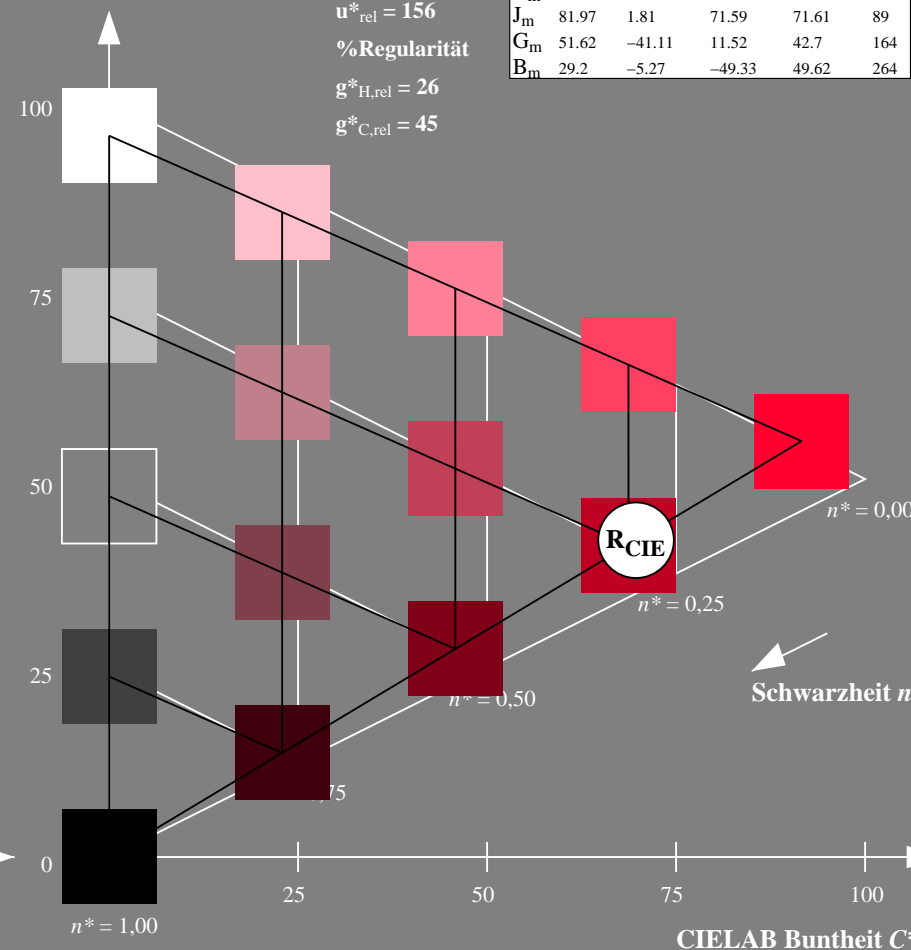
D65: Buntton R  
LCH\*Ma: 55 92 27  
olv\*Ma: 1.0 0.0 0.18



TLS00; adaptierte CIELAB-Daten					
	$L^*=L^*_a$	$a^*_a$	$b^*_a$	$C^*_{ab,a}$	$h^*_{ab,a}$
O <sub>m</sub>	54.19	79.36	63.0	101.33	38
Y <sub>m</sub>	93.44	-14.18	82.59	83.8	100
L <sub>m</sub>	82.82	-83.73	70.41	109.41	140
C <sub>m</sub>	85.22	-55.9	-15.78	58.1	196
V <sub>m</sub>	25.61	67.05	-108.87	127.87	302
M <sub>m</sub>	58.76	91.18	-53.69	105.82	330
N <sub>m</sub>	0.01	0.0	0.0	0.0	0
W <sub>m</sub>	95.41	0.0	0.0	0.0	0
R <sub>m</sub>	41.88	62.0	31.82	69.69	27
J <sub>m</sub>	81.97	1.81	71.59	71.61	89
G <sub>m</sub>	51.62	-41.11	11.52	42.7	164
B <sub>m</sub>	29.2	-5.27	-49.33	49.62	264

CIELAB-Helligkeit  $L^*$

%Umfang  
 $u^*_{rel} = 156$   
%Regularität  
 $g^*_{H,rel} = 26$   
 $g^*_{C,rel} = 45$



5 stufige Reihen für konstanten CIELAB Buntton  $27/360 = 0.075$  (rechts)

BAM-Prüfvorlage PG20; Farbmimetrik-Systeme ORS18 & TLS00 input: olv\* setrgbcolor

D50: Koordinatensysteme; 5stufige Farbreihen für 10 Bunttöne output: no change compared to input



Eingabe: Farbmimetrisches Offset-Reflektiv-System ORS18

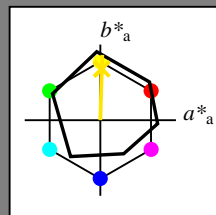
für Buntton  $h^* = lab^*h = 88/360 = 0.245$

$lab^*tch$  und  $lab^*nch$

D65: Buntton J

LCH\*Ma: 86 86 88

olv\*Ma: 1.0 0.9 0.0



ORS18; adaptierte CIELAB-Daten

	$L^*=L^*_a$	$a^*_a$	$b^*_a$	$C^*_{ab,a}$	$h^*_{ab,a}$
O <sub>m</sub>	47.94	65.05	50.54	82.38	38
Y <sub>m</sub>	91.0	-4.72	90.58	90.7	93
L <sub>m</sub>	50.9	-63.18	34.98	72.22	151
C <sub>m</sub>	56.99	-39.34	-48.1	62.16	231
V <sub>m</sub>	25.72	30.89	-44.4	54.09	305
M <sub>m</sub>	49.99	75.76	-4.64	75.9	356
N <sub>m</sub>	18.09	0.0	0.0	0.0	0
W <sub>m</sub>	95.46	0.0	0.0	0.0	0
R <sub>m</sub>	41.88	61.66	30.69	68.88	26
J <sub>m</sub>	81.97	2.02	67.79	67.82	88
G <sub>m</sub>	51.62	-41.32	9.74	42.46	167
B <sub>m</sub>	29.2	-5.79	-49.61	49.96	263

Dreiecks-Helligkeit  $t^*$

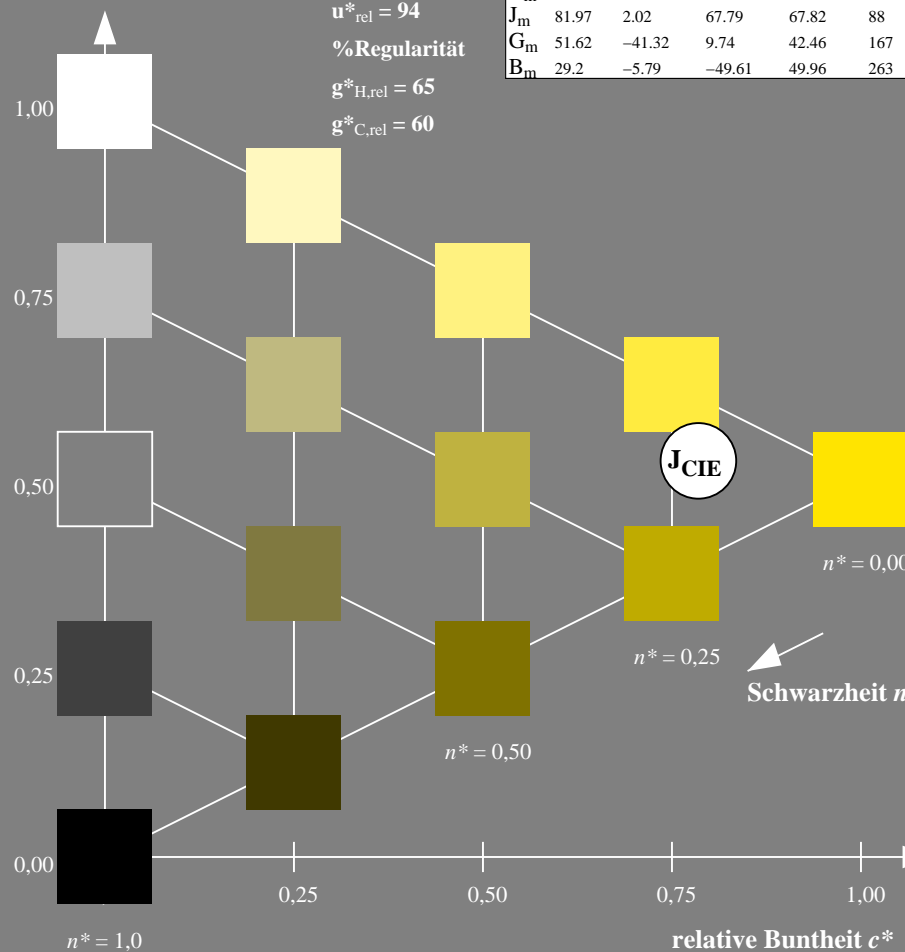
%Umfang

$u^*_{rel} = 94$

%Regularität

$g^*_{H,rel} = 65$

$g^*_{C,rel} = 60$



PG200-7, 5 stufige Reihen für konstanten CIELAB Buntton 88/360 = 0.245 (links)

Ausgabe: Farbmimetrisches Fernseh-Licht-System TLS00

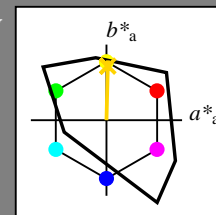
für Buntton  $h^* = lab^*h = 89/360 = 0.246$

$LAB^*LCH$ ,  $LAB^*NCH$

D65: Buntton J

LCH\*Ma: 87 79 89

olv\*Ma: 1.0 0.83 0.0



TLS00; adaptierte CIELAB-Daten

	$L^*=L^*_a$	$a^*_a$	$b^*_a$	$C^*_{ab,a}$	$h^*_{ab,a}$
O <sub>m</sub>	54.19	79.36	63.0	101.33	38
Y <sub>m</sub>	93.44	-14.18	82.59	83.8	100
L <sub>m</sub>	82.82	-83.73	70.41	109.41	140
C <sub>m</sub>	85.22	-55.9	-15.78	58.1	196
V <sub>m</sub>	25.61	67.05	-108.87	127.87	302
M <sub>m</sub>	58.76	91.18	-53.69	105.82	330
N <sub>m</sub>	0.01	0.0	0.0	0.0	0
W <sub>m</sub>	95.41	0.0	0.0	0.0	0
R <sub>m</sub>	41.88	62.0	31.82	69.69	27
J <sub>m</sub>	81.97	1.81	71.59	71.61	89
G <sub>m</sub>	51.62	-41.11	11.52	42.7	164
B <sub>m</sub>	29.2	-5.27	-49.33	49.62	264

CIELAB-Helligkeit  $L^*$

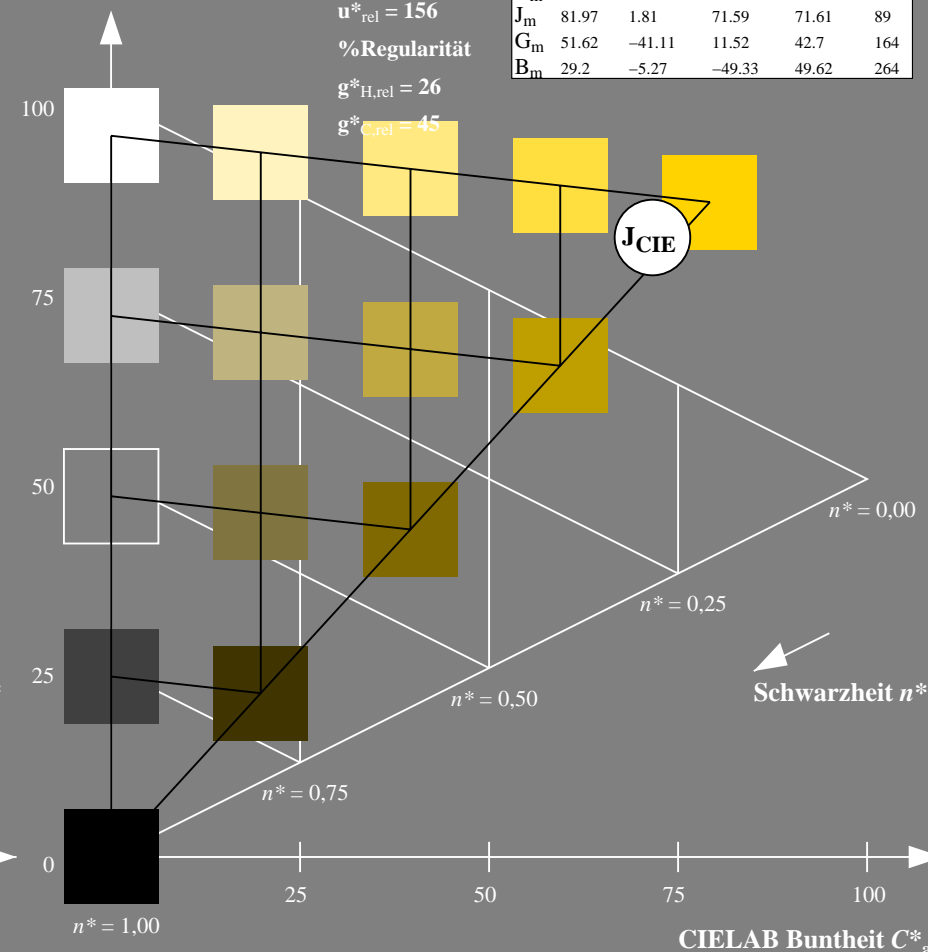
%Umfang

$u^*_{rel} = 156$

%Regularität

$g^*_{H,rel} = 26$

$g^*_{C,rel} = 45$



5 stufige Reihen für konstanten CIELAB Buntton 89/360 = 0.246 (rechts)

BAM-Prüfvorlage PG20; Farbmimetrik-Systeme ORS18 & TLS00 input: olv\* setrgbcolor

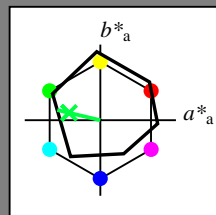
D50: Koordinatensysteme; 5stufige Farbreihen für 10 Bunttöne output: no change compared to input



Eingabe: Farbmimetrisches Offset-Reflektiv-System ORS18

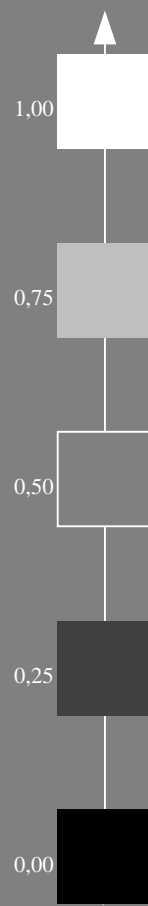
für Buntton  $h^* = lab^*h = 167/360 = 0.463$   
 $lab^*tch$  und  $lab^*nch$

D65: Buntton G  
LCH\*Ma: 52 59 167  
olv\*Ma: 0.0 1.0 0.26



ORS18; adaptierte CIELAB-Daten					
	$L^*=L^*_a$	$a^*_a$	$b^*_a$	$C^*_{ab,a}$	$h^*_{ab,a}$
O <sub>m</sub>	47.94	65.05	50.54	82.38	38
Y <sub>m</sub>	91.0	-4.72	90.58	90.7	93
L <sub>m</sub>	50.9	-63.18	34.98	72.22	151
C <sub>m</sub>	56.99	-39.34	-48.1	62.16	231
V <sub>m</sub>	25.72	30.89	-44.4	54.09	305
M <sub>m</sub>	49.99	75.76	-4.64	75.9	356
N <sub>m</sub>	18.09	0.0	0.0	0.0	0
W <sub>m</sub>	95.46	0.0	0.0	0.0	0
R <sub>m</sub>	41.88	61.66	30.69	68.88	26
J <sub>m</sub>	81.97	2.02	67.79	67.82	88
G <sub>m</sub>	51.62	-41.32	9.74	42.46	167
B <sub>m</sub>	29.2	-5.79	-49.61	49.96	263

Dreiecks-Helligkeit  $t^*$



%Umfang  
 $u^*_{rel} = 94$   
%Regularität  
 $g^*_{H,rel} = 65$   
 $g^*_{C,rel} = 60$

G<sub>CIE</sub>

$n^* = 0,00$

$n^* = 0,25$

$n^* = 0,50$

$n^* = 1,0$

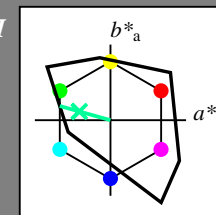
relative Buntheit  $c^*$

PG200-7, 5 stufige Reihen für konstanten CIELAB Buntton 167/360 = 0.463 (links)

Ausgabe: Farbmimetrisches Fernseh-Licht-System TLS00

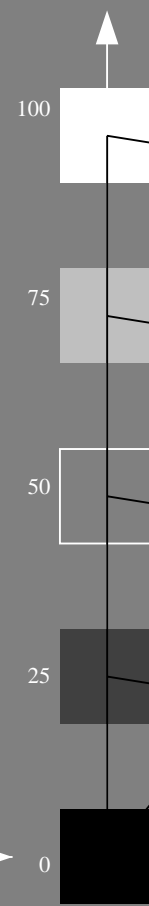
für Buntton  $h^* = lab^*h = 164/360 = 0.457$   
 $LAB^*LCH$ ,  $LAB^*NCH$

D65: Buntton G  
LCH\*Ma: 84 70 164  
olv\*Ma: 0.0 1.0 0.6



TLS00; adaptierte CIELAB-Daten					
	$L^*=L^*_a$	$a^*_a$	$b^*_a$	$C^*_{ab,a}$	$h^*_{ab,a}$
O <sub>m</sub>	54.19	79.36	63.0	101.33	38
Y <sub>m</sub>	93.44	-14.18	82.59	83.8	100
L <sub>m</sub>	82.82	-83.73	70.41	109.41	140
C <sub>m</sub>	85.22	-55.9	-15.78	58.1	196
V <sub>m</sub>	25.61	67.05	-108.87	127.87	302
M <sub>m</sub>	58.76	91.18	-53.69	105.82	330
N <sub>m</sub>	0.01	0.0	0.0	0.0	0
W <sub>m</sub>	95.41	0.0	0.0	0.0	0
R <sub>m</sub>	41.88	62.0	31.82	69.69	27
J <sub>m</sub>	81.97	1.81	71.59	71.61	89
G <sub>m</sub>	51.62	-41.11	11.52	42.7	164
B <sub>m</sub>	29.2	-5.27	-49.33	49.62	264

CIELAB-Helligkeit  $L^*$



%Umfang  
 $u^*_{rel} = 156$   
%Regularität  
 $g^*_{H,rel} = 26$   
 $g^*_{C,rel} = 45$

G<sub>CIE</sub>

$n^* = 0,00$

$n^* = 0,25$

$n^* = 0,50$

$n^* = 0,75$

$n^* = 1,00$

CIELAB Buntheit  $C^*_{ab}$

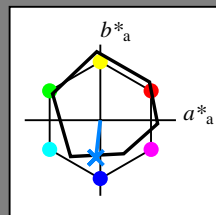
5 stufige Reihen für konstanten CIELAB Buntton 164/360 = 0.457 (rechts)

BAM-Prüfvorlage PG20; Farbmimetrik-Systeme ORS18 & TLS00 input: olv\* setrgbcolor  
D50: Koordinatensysteme; 5stufige Farbreihen für 10 Bunttöne output: no change compared to input

Eingabe: Farbmimetrisches Offset-Reflektiv-System ORS18

für Buntton  $h^* = lab^*h = 263/360 = 0.731$   
 $lab^*tch$  und  $lab^*nch$

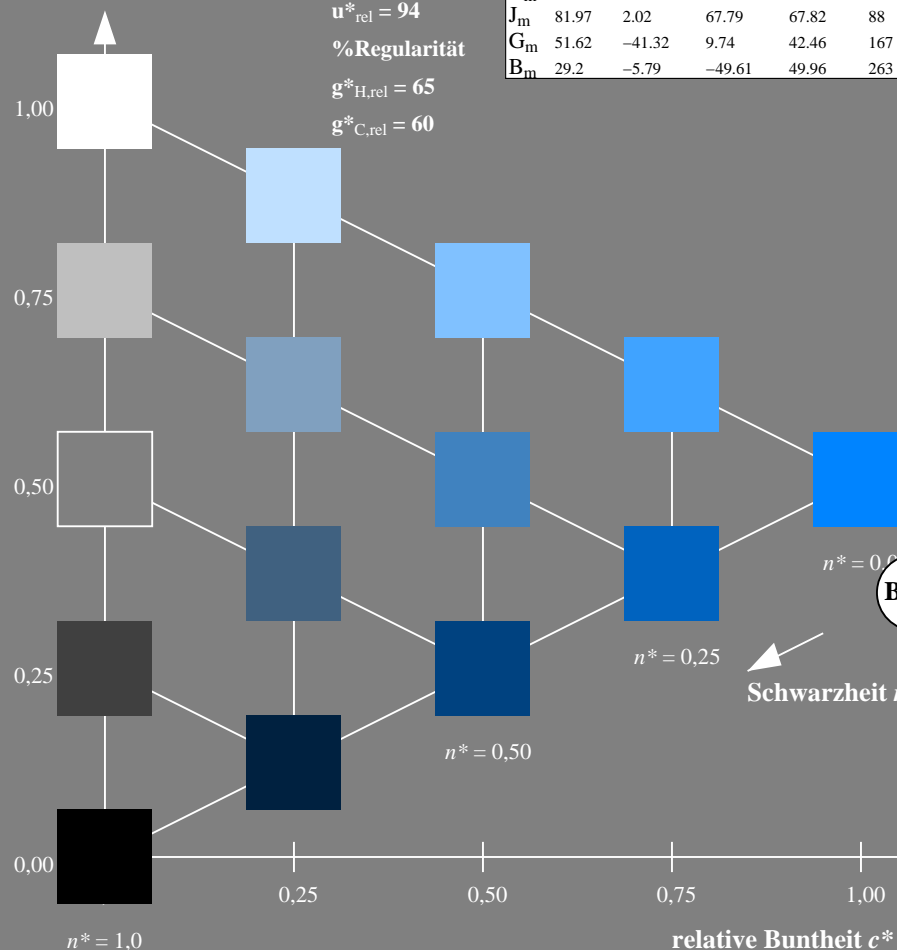
D65: Buntton B  
LCH\*Ma: 42 47 263  
olv\*Ma: 0.0 0.52 1.0



ORS18; adaptierte CIELAB-Daten					
	$L^*=L^*_a$	$a^*_a$	$b^*_a$	$C^*_{ab,a}$	$h^*_{ab,a}$
O <sub>m</sub>	47.94	65.05	50.54	82.38	38
Y <sub>m</sub>	91.0	-4.72	90.58	90.7	93
L <sub>m</sub>	50.9	-63.18	34.98	72.22	151
C <sub>m</sub>	56.99	-39.34	-48.1	62.16	231
V <sub>m</sub>	25.72	30.89	-44.4	54.09	305
M <sub>m</sub>	49.99	75.76	-4.64	75.9	356
N <sub>m</sub>	18.09	0.0	0.0	0.0	0
W <sub>m</sub>	95.46	0.0	0.0	0.0	0
R <sub>m</sub>	41.88	61.66	30.69	68.88	26
J <sub>m</sub>	81.97	2.02	67.79	67.82	88
G <sub>m</sub>	51.62	-41.32	9.74	42.46	167
B <sub>m</sub>	29.2	-5.79	-49.61	49.96	263

Dreiecks-Helligkeit  $t^*$

%Umfang  
 $u^*_{rel} = 94$   
%Regularität  
 $g^*_{H,rel} = 65$   
 $g^*_{C,rel} = 60$

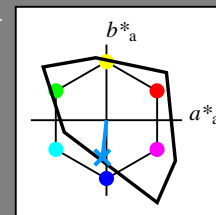


PG200-7, 5 stufige Reihen für konstanten CIELAB Buntton 263/360 = 0.731 (links)

Ausgabe: Farbmimetrisches Fernseh-Licht-System TLS00

für Buntton  $h^* = lab^*h = 264/360 = 0.733$   
 $LAB^*LCH$ ,  $LAB^*NCH$

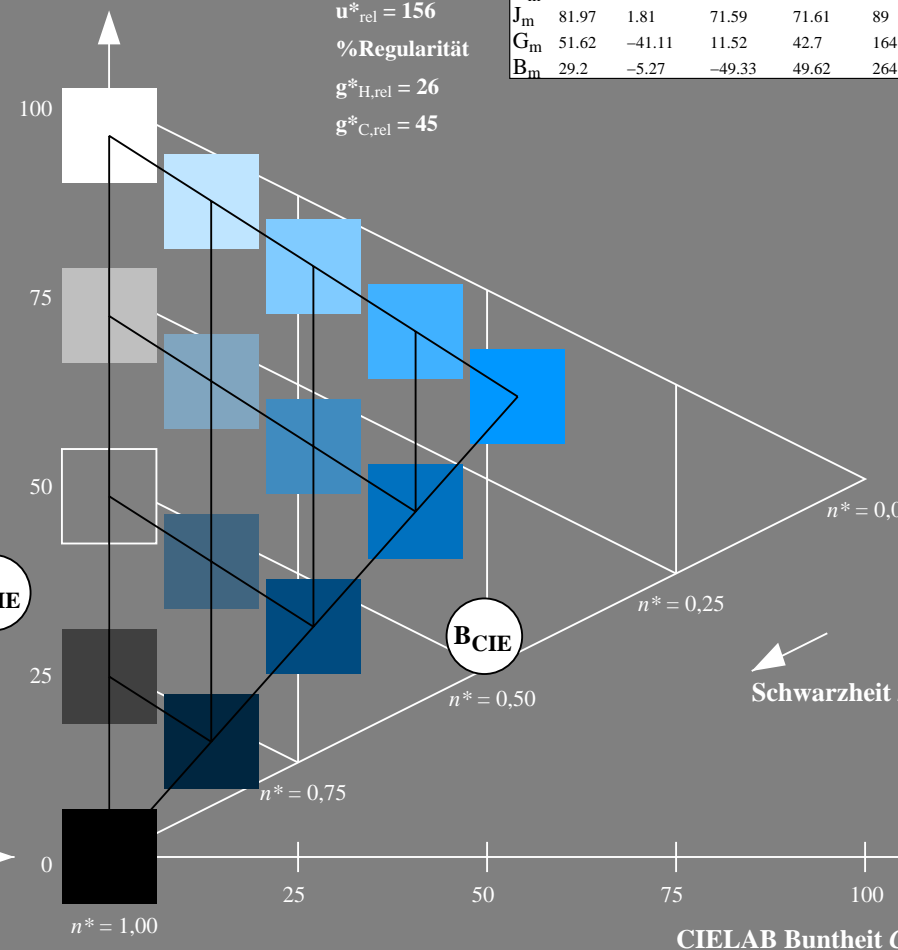
D65: Buntton B  
LCH\*Ma: 61 54 264  
olv\*Ma: 0.0 0.59 1.0



TLS00; adaptierte CIELAB-Daten					
	$L^*=L^*_a$	$a^*_a$	$b^*_a$	$C^*_{ab,a}$	$h^*_{ab,a}$
O <sub>m</sub>	54.19	79.36	63.0	101.33	38
Y <sub>m</sub>	93.44	-14.18	82.59	83.8	100
L <sub>m</sub>	82.82	-83.73	70.41	109.41	140
C <sub>m</sub>	85.22	-55.9	-15.78	58.1	196
V <sub>m</sub>	25.61	67.05	-108.87	127.87	302
M <sub>m</sub>	58.76	91.18	-53.69	105.82	330
N <sub>m</sub>	0.01	0.0	0.0	0.0	0
W <sub>m</sub>	95.41	0.0	0.0	0.0	0
R <sub>m</sub>	41.88	62.0	31.82	69.69	27
J <sub>m</sub>	81.97	1.81	71.59	71.61	89
G <sub>m</sub>	51.62	-41.11	11.52	42.7	164
B <sub>m</sub>	29.2	-5.27	-49.33	49.62	264

CIELAB-Helligkeit  $L^*$

%Umfang  
 $u^*_{rel} = 156$   
%Regularität  
 $g^*_{H,rel} = 26$   
 $g^*_{C,rel} = 45$



5 stufige Reihen für konstanten CIELAB Buntton 264/360 = 0.733 (rechts)

BAM-Prüfvorlage PG20; Farbmimetrik-Systeme ORS18 & TLS00 input: olv\* setrgbcolor

D50: Koordinatensysteme; 5stufige Farbreihen für 10 Bunttöne output: no change compared to input